2016年熊本地震における通潤橋の被災メカニズムの解明

京都大学大学院 学生員 〇好川 浩輝 京都大学大学院 正会員 古川 愛子 京都大学大学院 正会員 清野 純史

1. 研究の背景と目的

2016年4月14日,16日に発生した熊本地震により、熊本県山都町に位置する重要文化財「通潤橋」では、壁石や手摺石のはらみ出し、盛土の亀裂、通水管からの漏水などの被害が発生した。はらみ出しの主な発生位置は橋の端部に近い3点、大きさは最大15cm程度であった(図-1)。また盛土の亀裂は橋の外側2列の盛土で、アーチ中央以外の部分で発生した(図-2)。

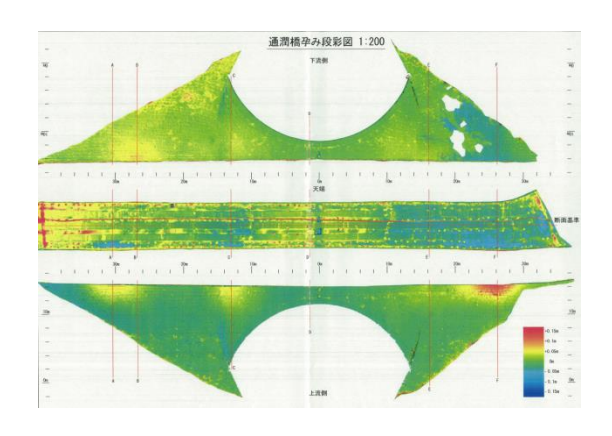


図-1 壁石のはらみ出し量(上図下流側, 下図上流側)1)

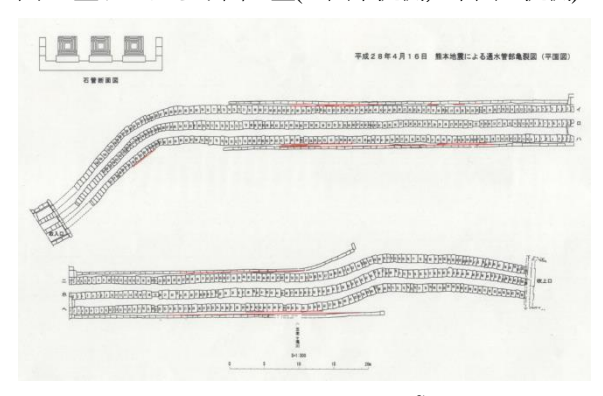


図-2 亀裂の発生位置2)

2. 現地調査と地震動推定

通潤橋と周辺地盤、そこからおよそ 0.9km 離れた強震観測点 K-net 矢部で微動計測を行った。H/V スペクトル比の比較(図-3)から、両地点は地盤構造が異なることが判明した。そこで中村らによって提案されている手法 ³を用いて、通潤橋位置での地震動を推定した。推定した NS 成分と EW 成分を合成して x 方向(橋軸方向)と y 方向(軸直角方向)に変換した。両地震動の加速度波形の比較を図4に示す。



図-3 両地点のH/V スペクトル比

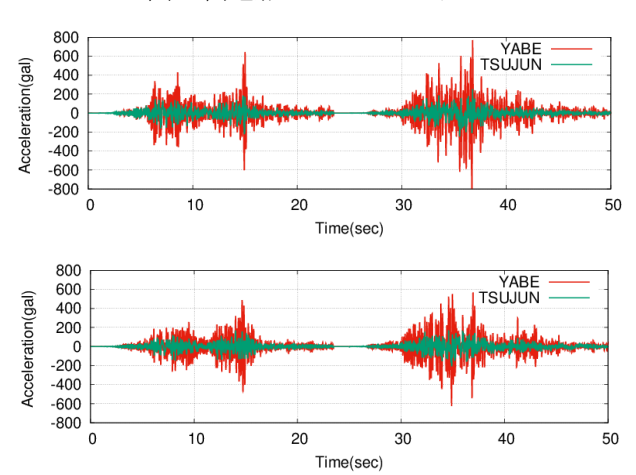


図-4 K-net 矢部での観測地震動と通潤橋位置での推定地震動 (上図 x 方向, 下図 y 方向)

3. 解析モデルとその妥当性の評価

改良版個別要素法 ⁴⁾ を用いて、図-5 に示す解析モデルを 作成した。各方向に 200gal の加速度を 0.01 秒間入力し、微 動計測から得られた通潤橋の固有振動数と比較する(表-1). また、橋軸直角方向のモード形状を図-6 に示す.

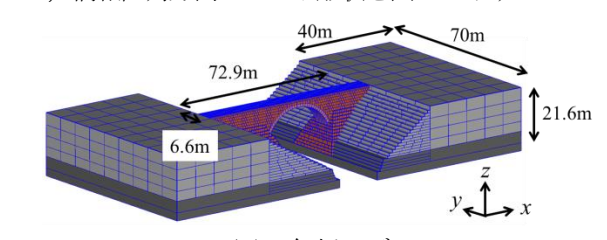


図-5 解析モデル

表-1 解析モデルと通潤橋の固有振動数の比較

	測定値[Hz]	モデル[Hz]	差[Hz]
x 方向	4.18	4.66	0.48
y方向	2.37	2.32	-0.05
z方向	5.35	5.26	-0.09
地盤	6.22	6.05	-0.17

キーワード 熊本地震, 改良版個別要素法, 通潤橋, H/V スペクトル比, 被災メカニズム 連絡先 〒615-8540 京都市西京区京都大学桂 C クラスター C1-2 号棟 TEL 075-383-3251

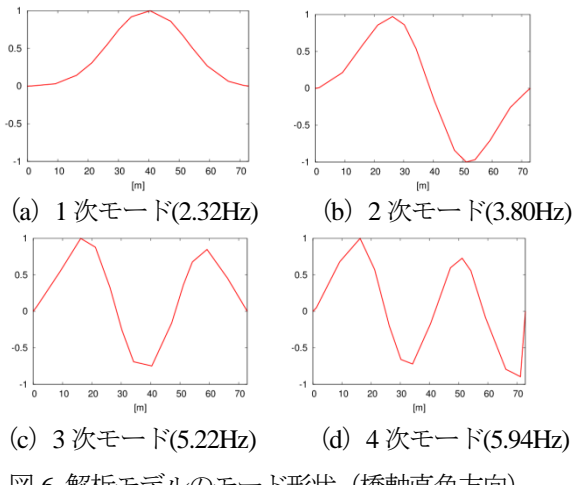


図-6 解析モデルのモード形状(橋軸直角方向)

4. 地震応答解析と解析結果

K-net 矢部で観測された観測地震動と作成した推定地震動 を用いて地震応答解析を行った.

観測地震動を用いた解析では多くの手摺石が落下し、壁 石の残留変位も広範囲で 20cm を超え,通潤橋の被害をか なり過大に評価した(図-7). 観測地震動は推定地震動に比べ て最大加速度が大きいため、最大加速度を推定地震動と同 じ 207.03gal に基準化した地震動でも解析を行ったが、それ でもなお手摺石が落下した. また, 壁石の残留変位はアー チ中央部で大きくなった.

推定地震動を用いた解析では、落下した手摺石は存在し なかった. 壁石の残留変位も, 発生位置は図-1 に示した実 際のはらみ出し位置とよく一致している(図-8). 残留変位の 最大値は約 8cm とやや小さいが、これは実際には本震後の 余震などを受けて時間をかけてはらみ出しが進行したため だと考えられる. また盛士の亀裂についても, その発生位 置を良好に再現できている(図-9).

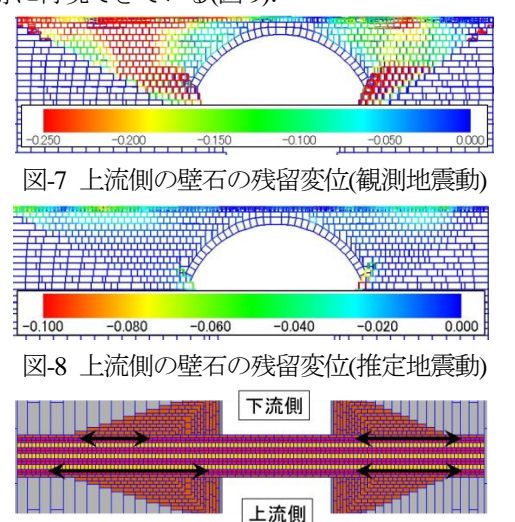


図-9 盛土の亀裂の発生位置(推定地震動)

5. 考察

推定地震動と基準化した観測地震動のフーリエ振幅スペ

クトルの比較から,推定地震動の方が 5~6Hz の成分が小 さいことが分かる(図-10). これはたもとの地盤の卓越振動 数であり、通潤橋の3次および4次モードの固有振動数で ある. また K-net 矢部と通潤橋の地盤の H/V スペクトル比 の比較から, 通潤橋地点は 5~6Hz で揺れにくいことが分 かる. 地震動の推定に H/V スペクトル比を用いると, この ような地盤の特性も考慮に入れられるため、良好な結果を 得られる推定地震動を作成できたと考えられる.

以上の結果を踏まえて、通潤橋の被災メカニズムを分 析すると以下のようになる. 熊本地震では 5~6Hz の成分 をそれほど含まない地震動で橋脚基部の地盤が振動した. このため、たもとの地盤で地震動はそれほど増幅しなかっ た. たもとの地盤は卓越振動数である 5~6Hz で振動し、 通潤橋は4次モードで共振し、被害が発生した.

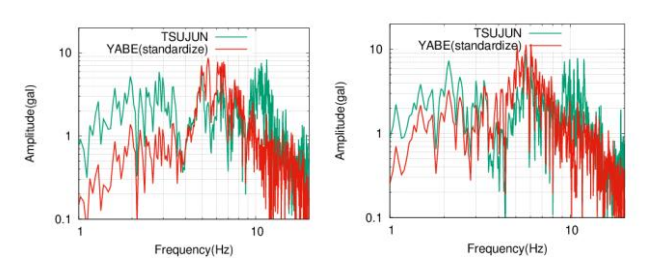


図-10 フーリエ振幅スペクトル(左図前震,右図本震)

6. 結論

本研究では通潤橋と周辺地盤の振動特性を現地調査によ り明らかにし、改良版個別要素法を用いた地震応答解析で 通潤橋の被災メカニズムを明らかにした. 解析結果と実現 象の比較から、K-net 矢部での観測地震動と通潤橋地点での 地震動は異なっていることが明らかになった. 通潤橋本体 への被害が軽微だったのは、地震動がたもとの地盤でそれ ほど増幅しなかったためであり、壁石のはらみ出しの発生 位置はたもとの地盤に呼応して通潤橋が 4 次モードで振動 したためであった.

参考文献 1) 熊本県山都町ホームページ:

http://www.town.kumamoto-yamato.lg.jp/,(2018/02/05 閲覧). 2) 熊本県山都町:平成28年4月14日·16日発生熊本地震 による通潤橋への影響(山都町提供資料). 3) 中村真貴ら: 常時微動 H/V スペクトル比を利用した強震観測点近傍の地 震動推定手法,第30回土木学会地震工学研究発表会論文集, 2009. 4) Aiko Furukawa, et al: Proposal of a Numerical Simulation Method for Elastic, Failure and Collapse Behaviors of Structures and its Application to Seismic Response Analysis of Masonry Walls, Journal of Disaster Research, Vol.6, No.1, 2011.